FDTD解析法 (Matlab 版、2次元PML) プログラム解説 v2.11

1. 概要

FDTD解析における吸収境界である完全整合層(Perfectly Matched Layer, PML)の定式化とプログラミングを2次元TE波について解説する。PMLは異方性の損失をもつ仮想的な物質であり、侵入して来る電磁波を逃さず吸収する。通常の物質と接する界面でインピーダンスが整合しており、反射波が生じないという優れた特徴をもつ。PMLを利用することにより、FDTD解析において問題となる解析領域端での反射波の影響を除くことが可能となり、解析精度を大きく改善し、様々な電磁波問題を解くことができる。

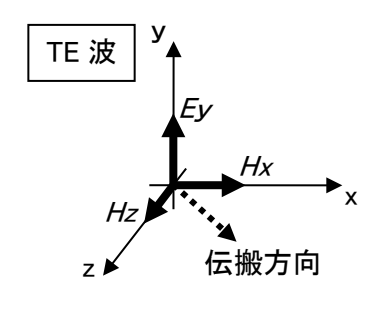
2. 2次元TE波におけるPMLの定式化

ここでは、2次元TE波についてのマクスウェル方程式

$$\begin{cases} \frac{\partial H_{x}}{\partial z} - \frac{\partial H_{z}}{\partial x} = \varepsilon_{r} \varepsilon_{0} \frac{\partial E_{y}}{\partial t} + J_{y} \\ -\frac{\partial E_{y}}{\partial z} = -\mu_{r} \mu_{0} \frac{\partial H_{x}}{\partial t} \end{cases}$$

$$\frac{\partial E_{y}}{\partial x} = -\mu_{r} \mu_{0} \frac{\partial H_{z}}{\partial t}$$

$$(1)$$



に対応する PMLの定式化を行う。 PML 媒質内では通常の導電率 $\sigma=0$ とし、その代わりに以下の 異方性テンソルで表される損失項を導入する。

3次元空間におけるPMLのためのマクスウェル方程式が、異方性PMLのテンソル \overline{s} を用いて次式で与えられていることを前提とする。(この原理を理解するためには、Berengerの電磁界分離による PML 定式化等を参照されたい。)すなわち、

Ampere の法則:
$$\nabla \times \vec{H} = \varepsilon_r \varepsilon_0 \overline{s} \frac{\partial \vec{E}}{\partial t} + \vec{J}$$
 (2a)

Faraday の法則:
$$\nabla \times \vec{E} = -\mu_r \mu_0 \overline{s} \frac{\partial \vec{H}}{\partial t}$$
 (2b)

ただし、 ε_0 は真空の誘電率、 ε_r は通常媒質の比誘電率であり、テンソル \overline{s} は

$$\overline{s} = \overline{\varepsilon} = \overline{\mu} = \begin{bmatrix} \frac{s_y s_z}{s_x} & 0 & 0\\ 0 & \frac{s_z s_x}{s_y} & 0\\ 0 & 0 & \frac{s_x s_y}{s_z} \end{bmatrix}$$
(3)

と表される。 \bar{s} の要素における

$$s_{\xi} = \kappa_{\xi} + \frac{\sigma_{\xi}}{j\omega\varepsilon_{0}} = \kappa_{\xi} + \frac{\sigma_{\xi}^{*}}{j\omega\mu_{0}}, \quad \xi = x, y, z$$
(4)

は複素比誘電率に相当する物理量であり、ここでPML媒質定数を次のように定義する。すなわち、 κ_{ξ} をPML媒質の等価比誘電率、 σ_{ξ} をPML媒質の電気的な等価導電率、 σ_{ξ}^{*} をPML媒質の磁気的な等価導電率とする。このような媒質定数により電磁波の伝搬方向によって損失(減衰)が異なる状況を実現する(異方性損失)。PMLでは周波数分散がゼロとなる条件(伝搬波形がひずまない「無ひずみ条件」)

$$\frac{\sigma}{\varepsilon_0} = \frac{\sigma^*}{\mu_0} \tag{5}$$

が成立していることで、周波数に依存しない吸収媒質を実現する。さらに、PML媒質の誘電体としての構成方程式を

$$\begin{cases} D_{x} = \varepsilon_{0}\varepsilon_{r} \frac{S_{z}}{S_{x}} E_{x} \\ D_{y} = \varepsilon_{0}\varepsilon_{r} \frac{S_{x}}{S_{y}} E_{y} \\ D_{z} = \varepsilon_{0}\varepsilon_{r} \frac{S_{y}}{S_{z}} E_{z} \end{cases}$$

$$(6)$$

および、磁性体としての構成方程式を

$$\begin{cases} B_x = \mu_0 \mu_r \frac{S_z}{S_x} H_x \\ B_y = \mu_0 \mu_r \frac{S_x}{S_y} H_y \\ B_z = \mu_0 \mu_r \frac{S_y}{S_z} H_z \end{cases}$$

$$(7)$$

と置く。以上の関係から 3 次元空間における定式化を行い、最終的にそれらの方程式から 2 次元T E 波の方程式 (1) すなわち、電磁界成分 (E_x, H_x, H_z) に相当する方程式を抽出することとする。

Ampere の法則(2a)を直角座標系において書き下す。まず、角周波数 ω である電磁波について

$$\begin{bmatrix}
\frac{\partial H_{z}}{\partial y} - \frac{\partial H_{y}}{\partial z} \\
\frac{\partial H_{x}}{\partial z} - \frac{\partial H_{z}}{\partial x} \\
\frac{\partial H_{y}}{\partial x} - \frac{\partial H_{x}}{\partial y}
\end{bmatrix} = j\omega\varepsilon_{r}\varepsilon_{0} \begin{bmatrix}
\frac{s_{y}s_{z}}{s_{x}}E_{x} \\
\frac{s_{z}s_{x}}{s_{y}}E_{y} \\
\frac{s_{x}s_{y}}{s_{z}}E_{z}
\end{bmatrix} + \begin{bmatrix}
J_{x} \\
J_{y} \\
J_{z}
\end{bmatrix}$$

$$= j\omega \begin{bmatrix}
s_{y}D_{x} \\
s_{z}D_{y} \\
s_{x}D_{z}
\end{bmatrix} + \begin{bmatrix}
J_{x} \\
J_{y} \\
J_{z}
\end{bmatrix}$$

$$= j\omega \begin{bmatrix}
k_{y}D_{x} \\
k_{z}D_{y} \\
k_{x}D_{z}
\end{bmatrix} + \frac{1}{\varepsilon_{0}} \begin{bmatrix}
\sigma_{y}D_{x} \\
\sigma_{z}D_{y} \\
\sigma_{x}D_{z}
\end{bmatrix} + \begin{bmatrix}
J_{x} \\
J_{y} \\
J_{z}
\end{bmatrix}$$
(8)

と書けるが、この式を逆フーリエ変換によって時間に関する微分方程式に変換する。すなわち、時間 微分演算子 $\partial/\partial t$ はフーリエ変換により複素角周波数 $i\omega$ となることから、(8)式は

$$\begin{bmatrix} \frac{\partial H_{z}}{\partial y} - \frac{\partial H_{y}}{\partial z} \\ \frac{\partial H_{x}}{\partial z} - \frac{\partial H_{z}}{\partial x} \\ \frac{\partial H_{y}}{\partial x} - \frac{\partial H_{x}}{\partial y} \end{bmatrix} = \frac{\partial}{\partial t} \begin{bmatrix} k_{y} D_{x} \\ k_{z} D_{y} \\ k_{x} D_{z} \end{bmatrix} + \frac{1}{\varepsilon_{0}} \begin{bmatrix} \sigma_{y} D_{x} \\ \sigma_{z} D_{y} \\ \sigma_{x} D_{z} \end{bmatrix} + \begin{bmatrix} J_{x} \\ J_{y} \\ J_{z} \end{bmatrix}$$

$$(9)$$

と変換できる。これは、電磁界成分の時間変化が記述された時間に依存する方程式である。 次に、PML の誘電率に関する構成方程式 (6)式からは

$$\begin{cases} s_{x}D_{x} = \varepsilon_{0}\varepsilon_{r}s_{z}E_{x} \\ s_{y}D_{y} = \varepsilon_{0}\varepsilon_{r}s_{x}E_{y} \\ s_{z}D_{z} = \varepsilon_{0}\varepsilon_{r}s_{y}E_{z} \end{cases}$$

$$(10)$$

が得られ、テンソル成分を用いて書き下し、

$$\begin{cases} (j\omega\kappa_{x} + \frac{\sigma_{x}}{\varepsilon_{0}})D_{x} = \varepsilon_{0}\varepsilon_{r}(j\omega\kappa_{z} + \frac{\sigma_{z}}{\varepsilon_{0}})E_{x} \\ (j\omega\kappa_{y} + \frac{\sigma_{y}}{\varepsilon_{0}})D_{y} = \varepsilon_{0}\varepsilon_{r}(j\omega\kappa_{x} + \frac{\sigma_{x}}{\varepsilon_{0}})E_{y} \\ (j\omega\kappa_{z} + \frac{\sigma_{z}}{\varepsilon_{0}})D_{z} = \varepsilon_{0}\varepsilon_{r}(j\omega\kappa_{y} + \frac{\sigma_{y}}{\varepsilon_{0}})E_{z} \end{cases}$$

$$(11)$$

さらに逆フーリエ変換によって時間に関する微分方程式

$$\begin{cases}
\frac{\partial}{\partial t}(\kappa_{x}D_{x}) + \frac{\sigma_{x}}{\varepsilon_{0}}D_{x} = \varepsilon_{0}\varepsilon_{r} \left[\frac{\partial}{\partial t}(\kappa_{z}E_{x}) + \frac{\sigma_{z}}{\varepsilon_{0}}E_{x} \right] \\
\frac{\partial}{\partial t}(\kappa_{y}D_{y}) + \frac{\sigma_{y}}{\varepsilon_{0}}D_{y} = \varepsilon_{0}\varepsilon_{r} \left[\frac{\partial}{\partial t}(\kappa_{x}E_{y}) + \frac{\sigma_{x}}{\varepsilon_{0}}E_{y} \right] \\
\frac{\partial}{\partial t}(\kappa_{z}D_{z}) + \frac{\sigma_{z}}{\varepsilon_{0}}D_{z} = \varepsilon_{0}\varepsilon_{r} \left[\frac{\partial}{\partial t}(\kappa_{y}E_{z}) + \frac{\sigma_{y}}{\varepsilon_{0}}E_{z} \right]
\end{cases} (12)$$

を得る。

同様に Faraday の法則(2b)についても、(5)の関係に注意し、

$$\begin{bmatrix}
\frac{\partial E_{z}}{\partial y} - \frac{\partial E_{y}}{\partial z} \\
\frac{\partial E_{x}}{\partial z} - \frac{\partial E_{z}}{\partial x} \\
\frac{\partial E_{y}}{\partial x} - \frac{\partial E_{z}}{\partial y}
\end{bmatrix} = -j\omega\mu_{r}\mu_{0} \begin{bmatrix}
\frac{s_{y}s_{z}}{s_{x}}H_{x} \\
\frac{s_{z}s_{x}}{s_{y}}H_{y} \\
\frac{s_{x}s_{y}}{s_{z}}H_{z}
\end{bmatrix}$$

$$= -j\omega \begin{bmatrix} s_{y}B_{x} \\
s_{z}B_{y} \\
s_{x}B_{z}
\end{bmatrix}$$

$$= -j\omega \begin{bmatrix} k_{y}B_{x} \\
k_{z}B_{y} \\
k_{x}B_{z}
\end{bmatrix} - \frac{1}{\mu_{0}} \begin{bmatrix} \sigma_{y}^{*}B_{x} \\
\sigma_{z}^{*}B_{y} \\
\sigma_{x}^{*}B_{z}
\end{bmatrix}$$

$$= -j\omega \begin{bmatrix} k_{y}B_{x} \\
k_{z}B_{y} \\
k_{z}B_{y}
\end{bmatrix} - \frac{1}{\varepsilon_{0}} \begin{bmatrix} \sigma_{y}B_{x} \\
\sigma_{z}B_{y} \\
\sigma_{z}B_{y}
\end{bmatrix}$$

$$= -j\omega \begin{bmatrix} k_{y}B_{x} \\
k_{z}B_{y} \\
k_{z}B_{z}
\end{bmatrix} - \frac{1}{\varepsilon_{0}} \begin{bmatrix} \sigma_{y}B_{x} \\
\sigma_{z}B_{y} \\
\sigma_{z}B_{y}
\end{bmatrix}$$
(13)

と書け、これを逆フーリエ変換し

$$\begin{bmatrix}
\frac{\partial E_{z}}{\partial y} - \frac{\partial E_{y}}{\partial z} \\
\frac{\partial E_{x}}{\partial z} - \frac{\partial E_{z}}{\partial x} \\
\frac{\partial E_{y}}{\partial x} - \frac{\partial E_{x}}{\partial y}
\end{bmatrix} = -\frac{\partial}{\partial t} \begin{bmatrix} k_{y} B_{x} \\ k_{z} B_{y} \\ k_{x} B_{z} \end{bmatrix} - \frac{1}{\mu_{0}} \begin{bmatrix} \sigma_{y}^{*} B_{x} \\ \sigma_{z}^{*} B_{y} \\ \sigma_{x}^{*} B_{z} \end{bmatrix}$$

$$= -\frac{\partial}{\partial t} \begin{bmatrix} k_{y} B_{x} \\ k_{z} B_{y} \\ k_{x} B_{z} \end{bmatrix} - \frac{1}{\varepsilon_{0}} \begin{bmatrix} \sigma_{y} B_{x} \\ \sigma_{z} B_{y} \\ \sigma_{x} B_{z} \end{bmatrix}$$
(14)

を得る。

PML の透磁率に関する構成方程式(7)式からは

$$\begin{cases} s_x B_x = \mu_0 \mu_r s_z H_x \\ s_y B_y = \mu_0 \mu_r s_x H_y \\ s_z B_z = \mu_0 \mu_r s_y H_z \end{cases}$$

$$(15)$$

が得られ、対応する時間に依存する微分方程式は、(12)式を参考に

$$\left\{ \frac{\partial}{\partial t} (\kappa_x B_x) + \frac{\sigma_x^*}{\mu_0} B_x = \mu_0 \mu_r \left[\frac{\partial}{\partial t} (\kappa_z H_x) + \frac{\sigma_z^*}{\mu_0} H_x \right] \right. \\
\left\{ \frac{\partial}{\partial t} (\kappa_y B_y) + \frac{\sigma_y^*}{\mu_0} B_y = \mu_0 \mu_r \left[\frac{\partial}{\partial t} (\kappa_x H_y) + \frac{\sigma_x^*}{\mu_0} H_y \right] \right. \\
\left. \frac{\partial}{\partial t} (\kappa_z B_z) + \frac{\sigma_z^*}{\mu_0} B_z = \mu_0 \mu_r \left[\frac{\partial}{\partial t} (\kappa_y H_z) + \frac{\sigma_y^*}{\mu_0} H_z \right] \right.$$
(16)

となる。

以上の式より2次元TE波に関する方程式を抽出すると、(9)式第2式より

$$\frac{\partial H_x}{\partial z} - \frac{\partial H_z}{\partial x} = \frac{\partial}{\partial t} (k_z D_y) + \frac{\sigma_z D_y}{\varepsilon_0} + J_y$$
(17)

(12)式第2式より

$$\frac{\partial}{\partial t}(\kappa_{y}D_{y}) + \frac{\sigma_{y}}{\varepsilon_{0}}D_{y} = \varepsilon_{0}\varepsilon_{r}\left[\frac{\partial}{\partial t}(\kappa_{x}E_{y}) + \frac{\sigma_{x}}{\varepsilon_{0}}E_{y}\right]$$
(18)

(14)式の第 1 式および第 3 式で電磁界成分($E_{y},D_{y},H_{x},B_{x},H_{z},B_{z}$)に関する項のみ考慮し

$$-\frac{\partial E_{y}}{\partial z} = -\frac{\partial}{\partial t}(k_{y}B_{x}) - \frac{\sigma_{y}B_{x}}{\varepsilon_{0}}$$
(19)

$$\frac{\partial E_{y}}{\partial x} = -\frac{\partial}{\partial t} (k_{x} B_{z}) - \frac{\sigma_{x} B_{z}}{\varepsilon_{0}}$$
(20)

(16)式の第1式および第3式と(5)の関係を用いて

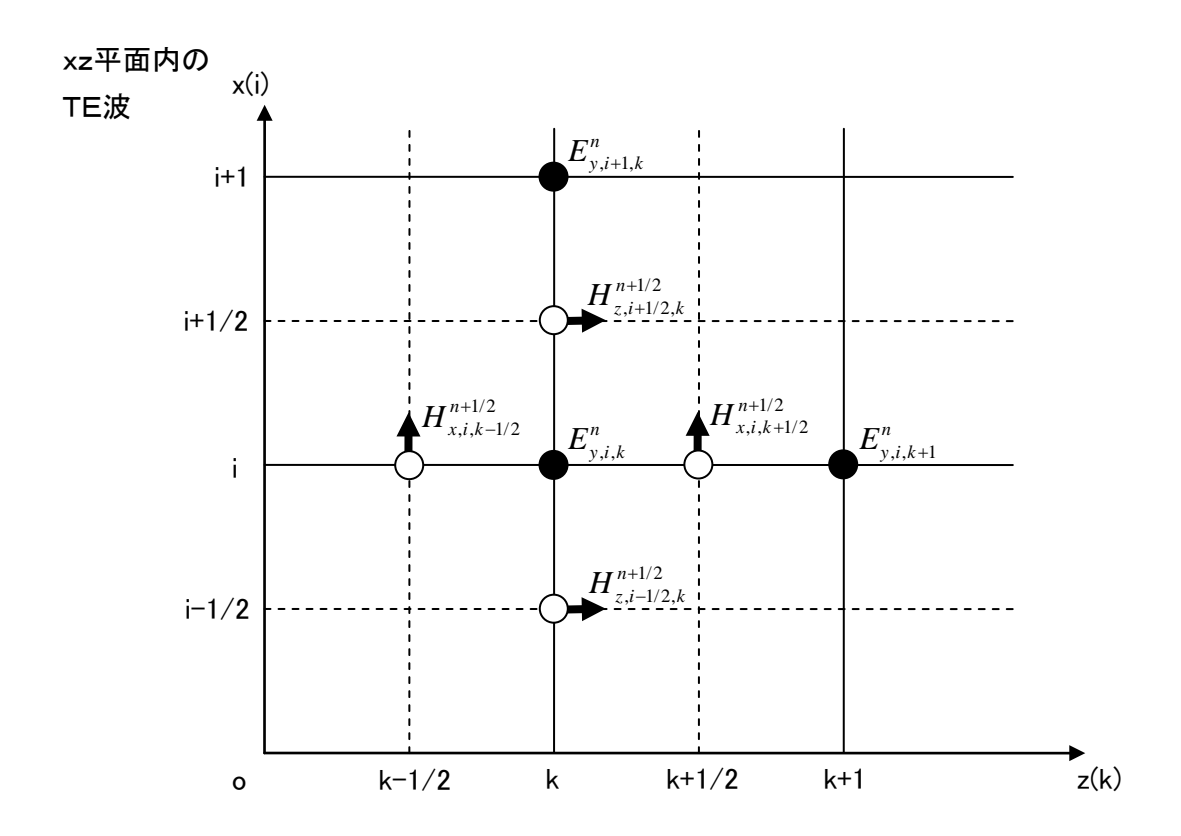
$$\frac{\partial}{\partial t}(\kappa_x B_x) + \frac{\sigma_x}{\varepsilon_0} B_x = \mu_0 \mu_r \left[\frac{\partial}{\partial t} (\kappa_z H_x) + \frac{\sigma_z}{\varepsilon_0} H_x \right]$$
(21)

$$\frac{\partial}{\partial t}(\kappa_z B_z) + \frac{\sigma_z}{\varepsilon_0} B_z = \mu_0 \mu_r \left[\frac{\partial}{\partial t} (\kappa_y H_z) + \frac{\sigma_y}{\varepsilon_0} H_z \right]$$
(22)

を得る。

3. 2次元TE波におけるPMLの差分式の導出

前節(17)式から(22)式を差分化し FDTD 法による時間発展方程式を導出する。差分化には 2 次元 TE 波で用いたものと同様の Yee 格子を用い、それぞれ E と D、H と B を同じ格子点にとる。



(17)式を差分化し、

$$\frac{H_{x,i,k+1/2}^{n+1/2} - H_{x,i,k-1/2}^{n+1/2}}{\Delta z} - \frac{H_{z,i+1/2,k}^{n+1/2} - H_{z,i-1/2,k}^{n+1/2}}{\Delta x} = \kappa_z \frac{D_{y,i,k}^{n+1} - D_{y,i,k}^{n}}{\Delta t} + \frac{\sigma_z}{\varepsilon_0} \frac{D_{y,i,k}^{n+1} + D_{y,i,k}^{n}}{2} + J_{y,i,k}^{n+1/2}$$
(23)

となり、これを $D_{_{\mathbf{y}}}^{^{n+1}}$ について解くと

$$D_{y,i,k}^{n+1} = \frac{2\varepsilon_{0}\kappa_{z} - \sigma_{z}\Delta t}{2\varepsilon_{0}\kappa_{z} + \sigma_{z}\Delta t}D_{y,i,k}^{n} + \frac{2\varepsilon_{0}\Delta t}{2\varepsilon_{0}\kappa_{z} + \sigma_{z}\Delta t} \left(\frac{H_{x,i,k+1/2}^{n+1/2} - H_{x,i,k-1/2}^{n+1/2}}{\Delta z} - \frac{H_{z,i+1/2,k}^{n+1/2} - H_{z,i-1/2,k}^{n+1/2}}{\Delta x} - J_{x,i,k}^{n+1/2}\right)$$
(24)

を得る。

(18)式を差分化し、

$$\frac{1}{\varepsilon_{r}\varepsilon_{0}} \left[\kappa_{y} \frac{D_{y,i,k}^{n+1} - D_{y,i,k}^{n}}{\Delta t} + \frac{\sigma_{y}}{\varepsilon_{0}} \frac{D_{y,i,k}^{n+1} + D_{y,i,k}^{n}}{2} \right] = \kappa_{x} \frac{E_{y,i,k}^{n+1} - E_{y,i,k}^{n}}{\Delta t} + \frac{\sigma_{x}}{\varepsilon_{0}} \frac{E_{y,i,k}^{n+1} + E_{y,i,k}^{n}}{2}$$

$$(25)$$

となり、これを E_{v}^{n+1} について解き

$$E_{y,i,k}^{n+1} = \frac{2\varepsilon_0 \kappa_x - \sigma_x \Delta t}{2\varepsilon_0 \kappa_x + \sigma_x \Delta t} E_{y,i,k}^n + \frac{1}{\varepsilon_r \varepsilon_0 \left(2\varepsilon_0 \kappa_x + \sigma_x \Delta t\right)} \left[\left(2\varepsilon_0 \kappa_y + \sigma_y \Delta t\right) D_{y,i,k}^{n+1} - \left(2\varepsilon_0 \kappa_y + \sigma_y \Delta t\right) D_{y,i,k}^n \right]$$
(26)

を得る。

(19)式の差分式は、

$$-\frac{E_{y,i,k+1}^{n} - E_{y,i,k}^{n}}{\Delta z} = -\kappa_{y} \frac{B_{x,i,k+1/2}^{n+1/2} - B_{x,i,k+1/2}^{n-1/2}}{\Delta t} - \frac{\sigma_{y}^{*}}{\mu_{0}} \frac{B_{x,i,k+1/2}^{n+1/2} + B_{x,i,k+1/2}^{n-1/2}}{2}$$
(27)

となり、これを $B_x^{n+1/2}$ について解き

$$B_{x,i,k+1/2}^{n+1/2} = \frac{2\mu_0 \kappa_y - \sigma_y^* \Delta t}{2\mu_0 \kappa_y + \sigma_y^* \Delta t} B_{x,i,k+1/2}^{n-1/2} - \frac{2\mu_0 \Delta t}{2\mu_0 \kappa_y + \sigma_y^* \Delta t} \left\{ -\frac{E_{y,i,k+1}^n - E_{y,i,k}^n}{\Delta z} \right\}$$
(28)

を得る。

同様に(20)式の差分式は、

$$\frac{E_{y,i+1,k}^{n} - E_{y,i,k}^{n}}{\Delta x} = -\kappa_{x} \frac{B_{z,i+1/2,k}^{n+1/2} - B_{z,i+1/2,k}^{n-1/2}}{\Delta t} - \frac{\sigma_{x}^{*}}{\mu_{0}} \frac{B_{z,i+1/2,k}^{n+1/2} + B_{z,i+1/2,k}^{n-1/2}}{2}$$
(29)

となり、これを $B_z^{n+1/2}$ について解き

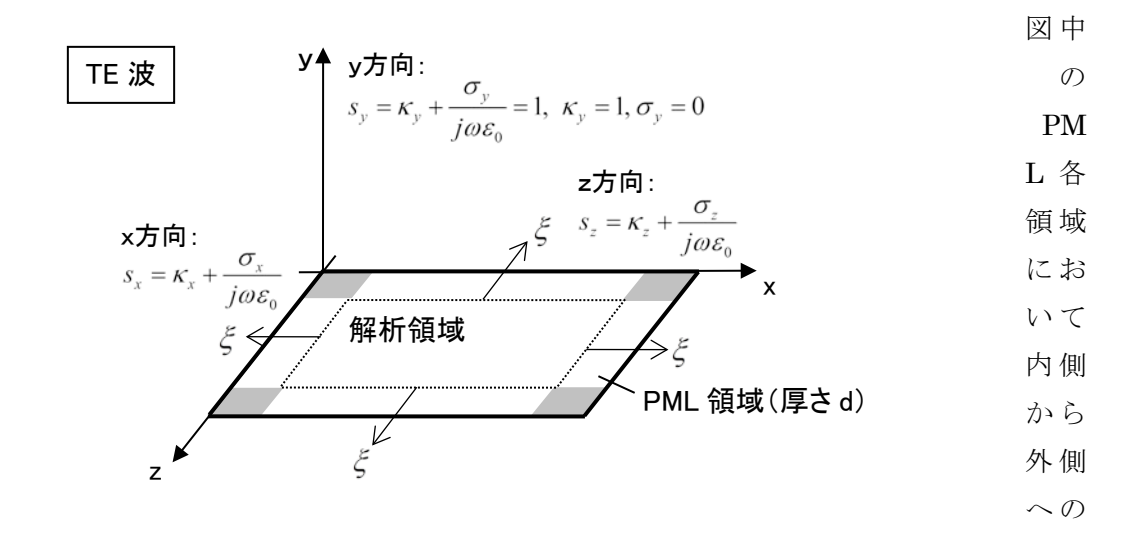
$$B_{z,i+1/2,k}^{n+1/2} = \frac{2\mu_0 \kappa_x - \sigma_x^* \Delta t}{2\mu_0 \kappa_x + \sigma_x^* \Delta t} B_{z,i+1/2,k}^{n-1/2} - \frac{2\mu_0 \Delta t}{2\mu_0 \kappa_x + \sigma_x^* \Delta t} \left\{ \frac{E_{y,i+1,k}^n - E_{y,i,k}^n}{\Delta x} \right\}$$
(30)

を得る。

その他、(21)、(22) の差分化も同様に行う。導出は各自で試されたい。

4. PMLにおける材料パラメータの決定

PMLの厚みを d とし、その領域内で電磁波が完全に吸収されるようにするため、誘電率と導電率に相当するパラメータ κ_{ε} , σ_{ε} (ただし、 $\xi=x,y,z$)を次のように決定する。



座標を ξ とし、

$$\sigma(\xi) = \left(\frac{\xi}{d}\right)^m \sigma_{\text{max}}$$
,

$$\sigma_{\max} = -\frac{(m+1)\ln\{R(0)\}}{2\eta\varepsilon_r d} \approx \sigma_{opt} = \frac{m+1}{150\pi\sqrt{\varepsilon_r}}\Delta x$$

ただし、 η は空間のインピーダンス、R(0)は $\xi=0$ の境界において達成したい反射率、および

$$\kappa(\xi) = 1 + \left(\kappa_{\text{max}} - 1\right) \left(\frac{\xi}{d}\right)^{m},$$

$$\kappa_{\text{max}} = 1 \sim 20$$

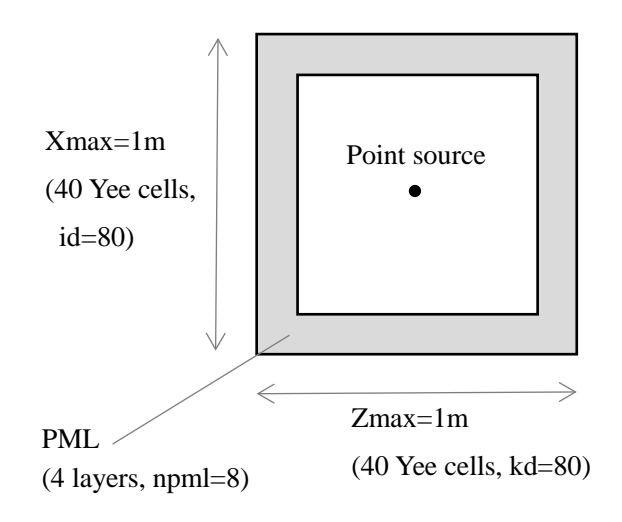
のように決定して電磁波を減衰させ、内側の解析領域内では

$$\sigma = 0, \kappa = 1$$

とすることにより通常の空間を実現する。

5. 解析例

5. 1 正方領域における 2 次元 TE 波の伝搬



ファイル名:fdtd_2d_fujii_matlab_PML_v211.m

解析条件およびパラメータの値:

解析領域の大きさ

xmax = 1 m

zmax = 1 m

周波数 freq = 1 GHz

分割数(Yee 格子の数)

x 方向 40 (id = 80)

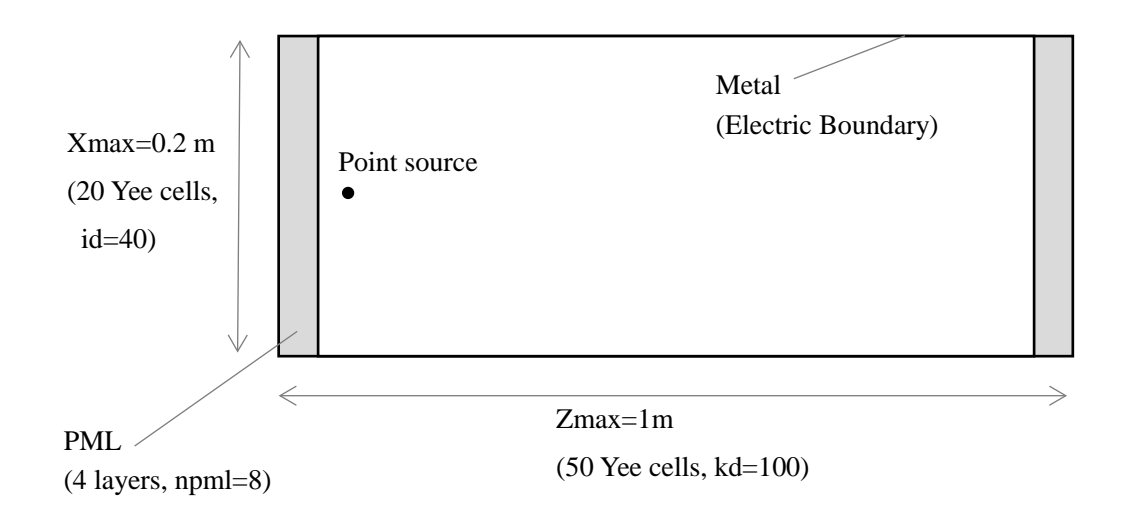
z 方向 40 (kd = 80)

PML 層数 = 4 (npml = 8)

繰り返し計算回数 nmax = 100 回

波源の大きさと位置:点波源、中央

5. 2 矩形導波管、または平行平板導波路における TE 波の伝搬と遮断



ファイル名:fdtd_2d_fujii_matlab_PML_v211_RectangularWaveguide.m 解析条件およびパラメータの値:

解析領域の大きさ

xmax = 0.2 m (遮断周波数 = 0.75 GHz)

zmax = 1 m

周波数 freq = 0.5 GHz(遮断周波数以下) および 1 GHz(伝搬)

分割数 (Yee 格子の数)

x 方向 20 (id = 40)

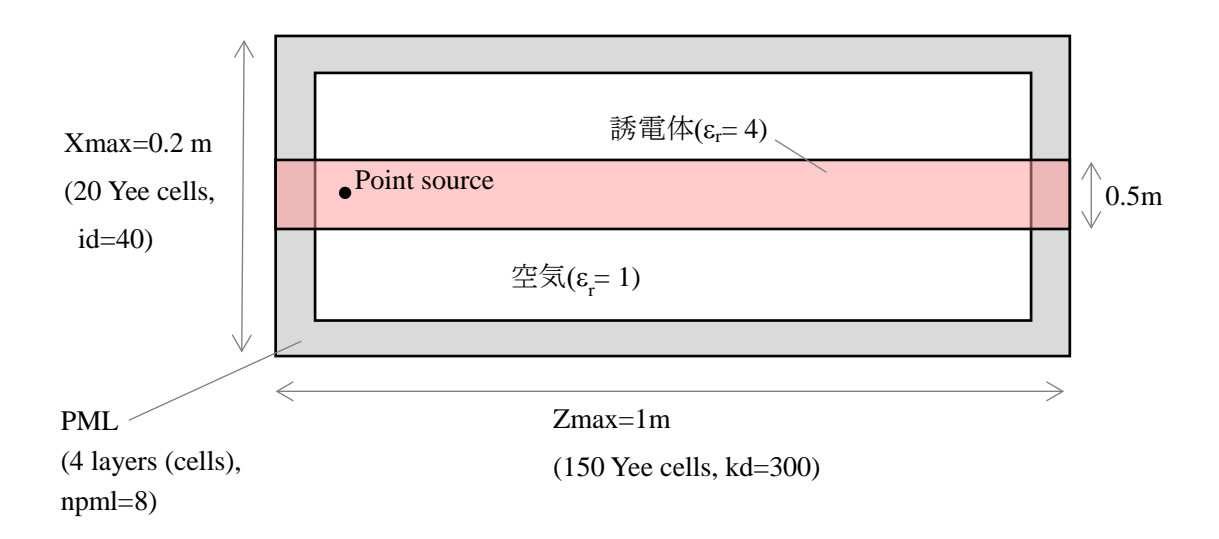
z 方向 50 (kd = 100)

PML 層数 = 4 (npml = 8) ただし、x=0 および x=xmax の境界のみ

繰り返し計算回数 nmax = 250 回

波源の大きさと位置:点波源、左端

5.3 2次元誘電体スラブ導波路中のパルス状 TE 波の伝搬と導波路分散による波形歪み



ファイル名:fdtd_2d_fujii_matlab_PML_v211_Slabwaveguide_GroupVelocity.m 解析条件およびパラメータの値:

解析領域の大きさ

xmax = 0.2 m

zmax = 1 m

周波数 freq = 3 GHz

分割数 (Yee 格子の数)

x 方向 20 (id = 40)

z 方向 150 (kd = 300)

PML 層数 = 4 (npml = 8) 全周囲

繰り返し計算回数 nmax = 500 回

波源の大きさ、位置、時間波形:点波源、左端、波東状パルス

正弦波が Raised-cosine 型包絡線(エンベロープ)で変調されており、包絡線中に正弦波が 5 波長 分存在するパルスが伝搬するに従い、導波路の群速度分散によってパルス波形が広がる様子を解析している。さらに、正弦波の位相速度に比べ群速度が遅いため、正弦波がパルス中で相対的に前に移動していく様子が見られる。